

Bioinformatik

BLAT: Datenbanksuche für sehr ähnliche
Sequenzen
Multiples Sequenzalignment

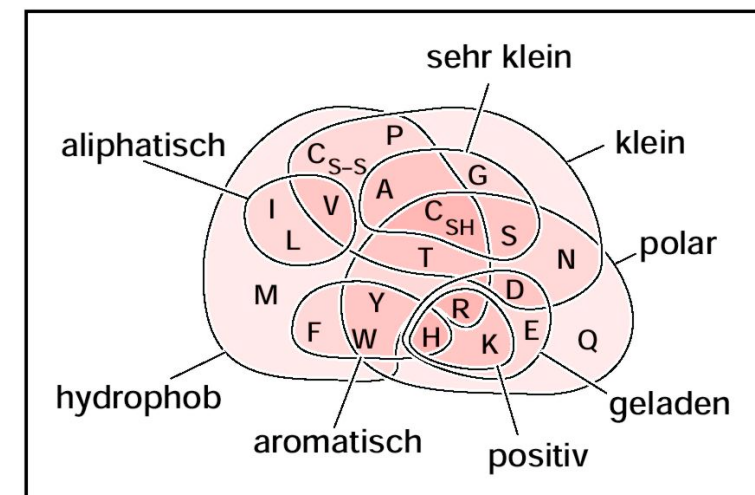


Silke Trißl / Ulf Leser
Wissensmanagement in der
Bioinformatik



Hintergrund

- Schon öfters angesprochen ...
 - Ähnlichkeitsmatrizen, Substitutionsmatrizen, Scorefunktionen, ...
- Ersetzung einer Base/Aminosäure durch eine andere hat **unterschiedliche Bedeutung**
 - Basen: Auswirkungen auf kodiertes Protein nicht gleichverteilt über die drei Codon-Positionen
 - Aminosäuren
 - Ersetzung mit „sehr ähnlichen“ Aminosäuren ändert Proteinstruktur kaum
 - Ersetzung mit „wenig ähnlichen“ Aminosäuren kann Struktur vollkommen ändern



Substitutionsmatrizen

- Bewertung individueller Substitutionen
- Algorithmen sind davon unberührt, nur Parameter ändern sich
- Das Ergebnis kann sich aber vollkommen ändern
- Beispiele: Blosum62, Identitätsmatrix

| | A | R | N | D | C | Q | E | G | H | I | L | K | M | F | P | S | T | W | Y | V | B | Z |
|---|----|----|----|----|----|----|----|----|----|----|----|----|----|----|----|----|----|----|----|----|----|----|
| A | 4 | -1 | -2 | -2 | 0 | -1 | -1 | 0 | -2 | -1 | -1 | -1 | -1 | -2 | -1 | 1 | 0 | -3 | -2 | 0 | -2 | -1 |
| R | -1 | 5 | 0 | -2 | -3 | 1 | 0 | -2 | 0 | -3 | -2 | 2 | -1 | -3 | -2 | -1 | -1 | -3 | -2 | -3 | -1 | 0 |
| N | -2 | 0 | 6 | 1 | -3 | 0 | 0 | 0 | 1 | -3 | -3 | 0 | -2 | -3 | -2 | 1 | 0 | -4 | -2 | -3 | 3 | 0 |
| D | -2 | -2 | 1 | 6 | -3 | 0 | 2 | -1 | -1 | -3 | -4 | -1 | -3 | -3 | -1 | 0 | -1 | -4 | -3 | -3 | 4 | 1 |
| C | 0 | -3 | -3 | -3 | 9 | -3 | -4 | -3 | -3 | -1 | -1 | -3 | -1 | -2 | -3 | -1 | -1 | -2 | -2 | -1 | -3 | -3 |
| Q | -1 | 1 | 0 | 0 | -3 | 5 | 2 | -2 | 0 | -3 | -2 | 1 | 0 | -3 | -1 | 0 | -1 | -2 | -1 | -2 | 0 | 3 |
| E | -1 | 0 | 0 | 2 | -4 | 2 | 5 | -2 | 0 | -3 | -3 | 1 | -2 | -3 | -1 | 0 | -1 | -3 | -2 | -2 | 1 | 4 |
| G | 0 | -2 | 0 | -1 | -3 | -2 | -2 | 6 | -2 | -4 | -4 | -2 | -3 | -3 | -2 | 0 | -2 | -2 | -3 | -3 | -1 | -2 |
| H | -2 | 0 | 1 | -1 | -3 | 0 | 0 | -2 | 8 | -3 | -3 | -1 | -2 | -1 | -2 | -1 | -2 | -2 | 2 | -3 | 0 | 0 |
| I | -1 | -3 | -3 | -3 | -1 | -3 | -3 | -4 | -3 | 4 | 2 | -3 | 1 | 0 | -3 | -2 | -1 | -3 | -1 | 3 | -3 | -3 |
| L | -1 | -2 | -3 | -4 | -1 | -2 | -3 | -4 | -3 | 2 | 4 | -2 | 2 | 0 | -3 | -2 | -1 | -2 | -1 | 1 | -4 | -3 |
| K | -1 | 2 | 0 | -1 | -3 | 1 | 1 | -2 | -1 | -3 | -2 | 5 | -1 | -3 | -1 | 0 | -1 | -3 | -2 | -2 | 0 | 1 |
| M | -1 | -1 | -2 | -3 | -1 | 0 | -2 | -3 | -2 | 1 | 2 | -1 | 5 | 0 | -2 | -1 | -1 | -1 | -1 | 1 | -3 | -1 |
| F | -2 | -3 | -3 | -3 | -2 | -3 | -3 | -1 | 0 | 0 | -3 | 0 | 6 | -4 | -2 | -2 | 1 | 3 | -1 | -3 | -3 | |
| P | -1 | -2 | -2 | -1 | -3 | -1 | -1 | -2 | -2 | -3 | -3 | -1 | -2 | -4 | 7 | -1 | -1 | -4 | -3 | -2 | -2 | -1 |
| S | 1 | -1 | 1 | 0 | -1 | 0 | 0 | -1 | -2 | -2 | 0 | -1 | -2 | -1 | 4 | 1 | -3 | -2 | -2 | 0 | 0 | |
| T | 0 | -1 | 0 | -1 | -1 | -1 | -1 | -2 | -2 | -1 | -1 | -1 | -2 | -1 | 1 | 5 | -2 | -2 | 0 | -1 | -1 | |
| W | -3 | -3 | -4 | -4 | -2 | -2 | -3 | -2 | -2 | -3 | -2 | -3 | -1 | 1 | -4 | -3 | -2 | 11 | 2 | -3 | -4 | -3 |
| Y | -2 | -2 | -2 | -3 | -2 | -1 | -2 | -3 | 2 | -1 | -1 | -2 | -1 | 3 | -3 | -2 | -2 | 2 | 7 | -1 | -3 | -2 |
| V | 0 | -3 | -3 | -3 | -1 | -2 | -2 | -3 | -3 | 3 | 1 | -2 | 1 | -1 | -2 | -2 | 0 | -3 | -1 | 4 | -3 | -2 |
| B | -2 | -1 | 3 | 4 | -3 | 0 | 1 | -1 | 0 | -3 | -4 | 0 | -3 | -3 | -2 | 0 | -1 | -4 | -3 | -3 | 4 | 1 |
| Z | -1 | 0 | 0 | 1 | -3 | 3 | 4 | -2 | 0 | -3 | -3 | 1 | -1 | -3 | -1 | 0 | -1 | -3 | -2 | -2 | 1 | 4 |

| | A | C | G | T |
|---|----|----|----|----|
| A | 5 | -4 | -4 | -4 |
| C | -4 | 5 | -4 | -4 |
| G | -4 | -4 | 5 | -4 |
| T | -4 | -4 | -4 | 5 |

PAM als Sequenzabstand

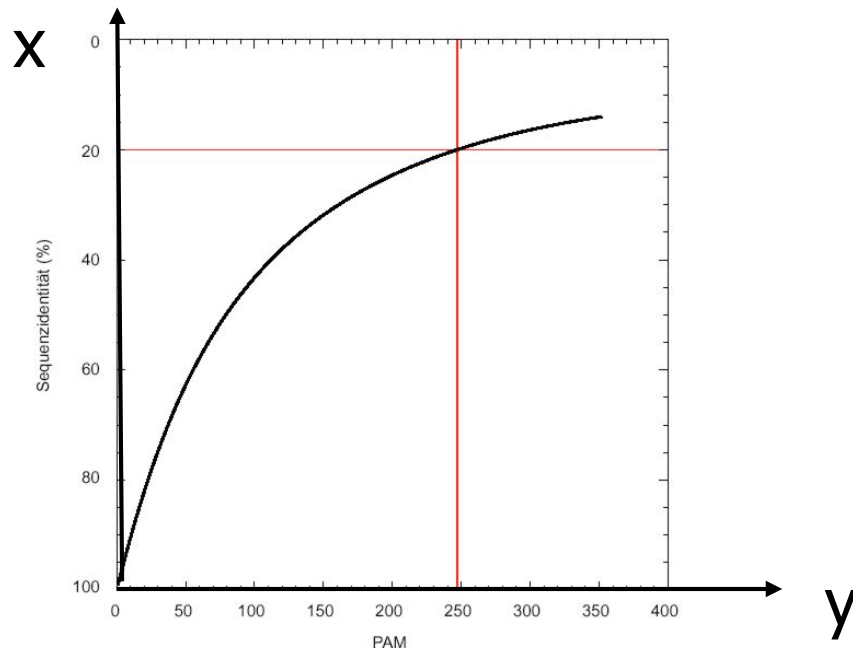
- Definition

*Seien S_1 und S_2 zwei Proteinsequenzen mit $|S_1|=|S_2|$. S_1 und S_2 heißen **x PAM entfernt**, wenn S_1 in S_2 überführt wurde mit **x Punktmutationen pro 100 Aminosäuren***

- Eigenschaften

- PAM beachtet keine Inserts und Deletions
- x schätzt man aus den Unterschieden von S_1 und S_2
 - Kann man analytisch berechnen oder durch Simulation bestimmen
- 50 PAM Abstand heißt nicht 50 Veränderungen pro 100 Aminosäuren

Mutationshäufigkeit und Sequenzidentität



- Kein linearer Zhg: Rückmutationen, Doppelmutationen, etc.
- Mit steigendem y wächst der Abstand zur Ausgangssequenz ab einem bestimmten Punkt kaum noch
- Ab diesem Punkt kann man über **Homologie** kaum noch eine Aussage machen

PAM Matrizen

- **Definition**

Seien $(S_{1,1}, S_{2,1}), \dots, (S_{1,n}, S_{2,n})$ Paare von Sequenzen, die jeweils x PAM entfernt sind. Dann ist die PAM-x Matrix M_x wie folgt definiert:

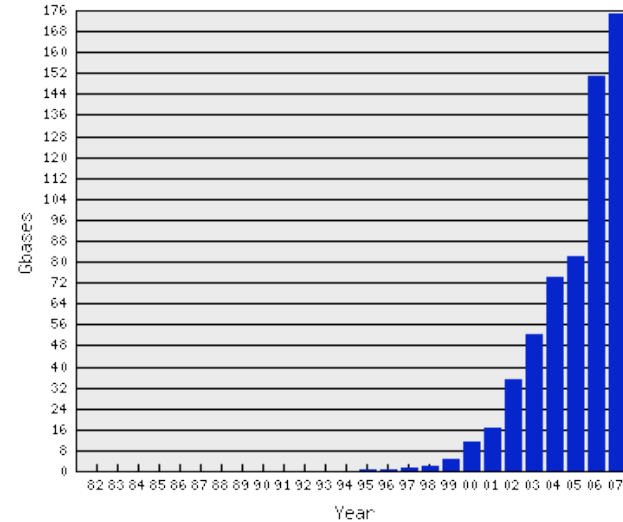
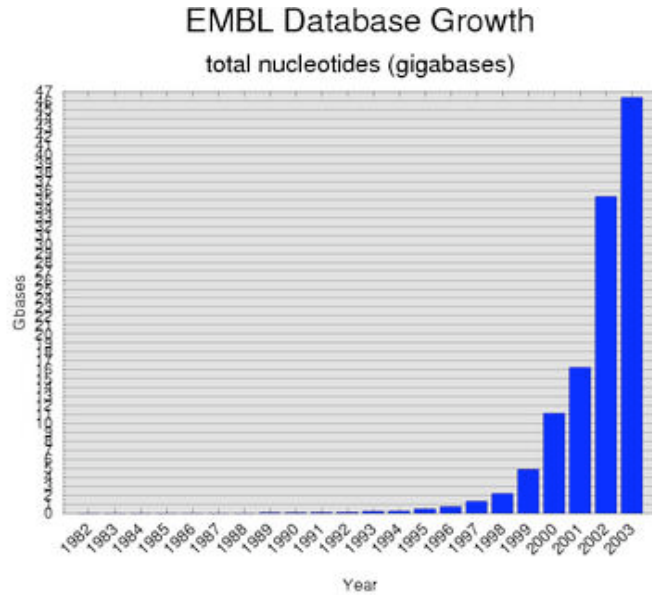
- *Sei $f(i)$ die relative Häufigkeit der Aminosäure A_i*
- *Seien alle Paare optimal aligniert*
 - *Sei $S_{k,l}'$ das $S_{k,l}$ mit den durch das Alignment eingefügten Leerzeichen*
- *Sei $f(i,j)$ die relative Übergangshäufigkeit von A_i zu A_j in allen alignierten Paaren*
 - *Anzahl von Positionen k mit $S_{1,z}'[k]=A_i$ und $S_{2,z}'[k]=A_j$ oder umgekehrt*
 - *Übergang ist „richtungslos“: $f(i,j) = f(j,i)$*
 - *Paare $(A_x, _)$ werden ignoriert*
 - *$f(i,j)$ wird auf die Gesamtzahl aller Paare ohne INSDEL normiert*
- *Damit:*

$$M_x(i, j) = \log\left(\frac{f(i, j)}{f(i) * f(j)}\right)$$

Reale PAM Matrizen

- Vorgehen von Dayhoff et al.
 - Paare eng verwandter Sequenzen auswählen
 - >85% Identität, 34 Proteinfamilien
 - Manuell alignieren
 - PAM-1 Matrix M_1 aus Häufigkeiten berechnen
 - PAM-x Matrizen wie folgt berechnen: $M_n = (M_1)^n$
- Dem liegen viele Annahmen zugrunde
 - **Evolutionary Clock Theory**: Evolution verläuft gleichmäßig
 - in der Zeit und in den Sequenzpositionen
 - Proportionalität von Veränderungen
 - Hochrechnung langer Distanzen aus kurzen
 - Keine Insertions oder Deletions
 - Unabhängigkeit der Mutationswahrscheinlichkeit von der Position in der Sequenz (und der Nachbarschaft)

Heuristische Alignierung



- Annotation neuer Sequenzen basiert auf Suche nach homologen Sequenzen in **Sequenzdatenbanken**
- Datenmenge wächst exponentiell
- Alignment ist zu langsam
- Gesucht sind Verfahren
 - Lineare oder sublinearer Laufzeit
 - Möglichst hohe Ergebnisqualität

Heuristik

- Definition: *Heuristik* bezeichnet die Kunst, mit begrenztem Wissen und wenig Zeit zu guten Lösungen zu kommen.
- Beispiel: Exaktes Stringmatching; Finden von P in T
 - Naiver Algorithmus: verschiebe P um eine Position in T
 - zu langsam -> wir wollen P um mehr Zeichen verschieben
 - Annahme
 - in P gibt es keine Wiederholungen
 - wir können P immer um die Anzahl Zeichen verschieben, die wir verglichen haben
 - Problem: die Annahme stimmt nicht immer
 - wir finden vielleicht nicht alle Vorkommen von P in T

abyabyabyacyaby
abyacy
abyacy

abyabyabyacyaby
abyaby
abyaby

Sensitivität und Spezifität

| | | Reality | |
|------------|---|-----------------------|-----------------------|
| | | + | - |
| Prediction | + | TruePositive (TP) | FalsePositive (FP) |
| | - | FalseNegative (FN) | TrueNegative (TN) |

- **Spezifität** = $TP/(TP+FP)$ (Precision)
 - Wie viele der Treffen des Verfahrens sind wirklich welche?
- **Sensitivität** = $TP/(TP+FN)$ (Recall)
 - Wie viele der echten Treffer findet das Verfahren?
- **Eine Balance**
 - Algorithmen berechnen einen Score pro Sequenz
 - Hohe Score – Positiv; Niedriger Score – Negativ
 - Wenn Score mit Wahrscheinlichkeit für korrekte Klassifikation korreliert, folgt daraus
 - Ergebnismenge klein: SP=hoch, SE=klein
 - Ergebnismenge groß: SP=niedrig, SE=hoch

BLAST

- Altschul, Gish, Miller, Myers, Lipman: „Basic Local Alignment Search Tool“, J Mol Bio, 1990.
- **Heuristische Suche**
 - Sehr schnell, findet aber nicht alle optimalen Alignments
 - Berechnet statistische Signifikanz der Treffer
- ***Die* Erfolgsgeschichte der Bioinformatik**
 - In manchen Darstellungen äquivalent zu „Bioinformatik“
 - Eingesetzt auf NCBI/EBI Server – von der ganzen Welt benutzt
 - Software frei erhältlich
 - „we blasted the sequence ...“
- Diverse Weiterentwicklungen
 - Gapped-BLAST und PSI-BLAST (1997), MegaBlast, TextBlast, ...

BLAST Parameter

- BLAST sucht nach guten lokalen Alignments in Sequenzen
 - DNA, mRNA, Protein
- Gegeben
 - Suchsequenz P, Datenbank DB={ S_1, \dots, S_n }
 - Substitutionsmatrix M
 - Parameter w: **Länge der „Seeds“**
 - Parameter t: **Initialer Schwellwert**
 - Parameter c: **Gesamtschwellwert**
 - Wird berechnet in Abhängigkeit von t, M, |DB|, |P|
 - Parameter v: Erwünschte **Anzahl Treffer**
 - Blast berechnet die v ähnlichen Subsequenzen

BLAST Schritt 1 und 2

- Schritt 1
 - Bestimme alle **Teilwörter** P_1, \dots, P_m der Länge w in P
 - Mit Überlappung – keine Partitionierung
 - Wie viele gibt es?
- Schritt 2
 - Suche nach **Hits** von P_1, \dots, P_m in DB mit **Score** über t
 - Hits müssen nicht exakt sein
 - Vergleiche alle P_i mit allen Teilwörtern in DB der Länge w in T
 - Keine INSDELS, Verwendung von M
 - Durch den „unscharfen“ Hit mit Schwellwert t
 - werden auch Hits gefunden, die keine perfekten Matches sind
 - werden **wenig aussichtsreiche Positionen** in DB ausgeschlossen
 - Annahme: Ein gutes lokales Alignment A in Sequenz S muss mindestens einen Hit enthalten
 - Es ist nicht notwendig, dass jedes Teilwort in A mit seinem Teilwortpartner in P einen Hit hat.

BLAST Schritt 3

- Schritt 3
 - Für jeden Hit H zwischen DB-Sequenz S und P_i
 - **Verlängere Bereich** um H sowohl in P als auch in S
 - Gapfree Alignment nach links und rechts wachsen
 - Solange, bis
 - Sequenz P oder S zu Ende ist, oder
 - Alignmentscore fällt unter geschätzten Schwellwert c , oder
 - Alignmentscore fällt „signifikant“ unter bisherige v beste Treffer
 - » „Signifikant“ heuristisch bestimmt
 - Ergibt „**Maximal Segment Pairs (MSP)**“
 - Die besten v MSP sind das Ergebnis

Bemerkungen

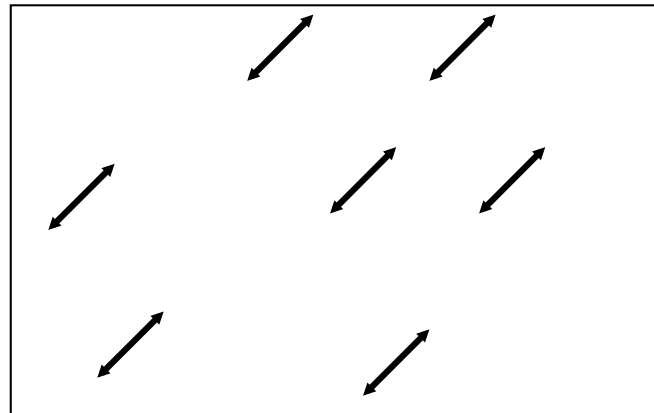
- BLAST ist eine **Exklusionsmethode**
 - Bestimme und suche nach Seeds = minimale Alignments, die (höchstwahrscheinlich) im Kern jedes sehr guten lokalen Alignments stecken
 - Erweitere nur diese zu Alignments für die gesamte Suchsequenz (bzw. deren „lokalen“ Kern)
 - Praktisch alle Heuristiken zur Sequenzsuche arbeiten nach diesem Muster
 - Quasar, Biohunter, BLAT, FASTA, ...
- Heuristik
 - BLAST findet i.d.R. **nicht alle hinreichend guten Alignments**
 - Grund: Keine INSDEL, Schwellwerte w und t

BLAST-2

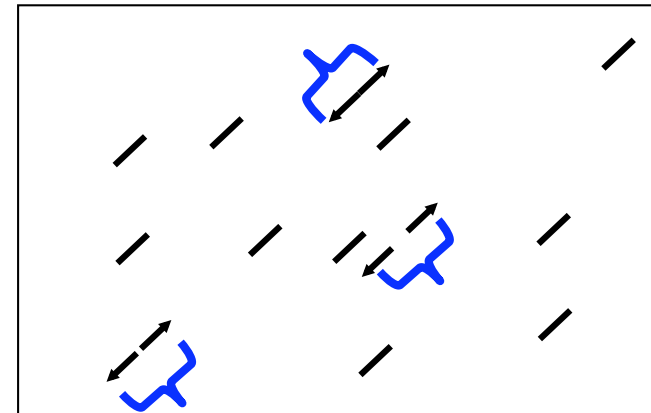
- 7 Jahre nach der Originalveröffentlichung
 - Altschul, Madden, Schaffer, Zhang, Zhang, Miller, Lipman: „Gapped BLAST and PSI-BLAST: a new generation of protein database search programs“, NAR, 1997
- Zwei Verbesserungen
 - **Performance verbessern**
 - Denn: Sequenzdatenbanken wachsen schneller als Geschwindigkeit der Computer
 - **Gaps beachten**
 - Denn: Mehrere kurze Alignments mit Gaps werden von BLAST-1 übersehen, wenn keines davon signifikant bzgl. t ist
 - Zusammen können diese Alignments aber hochsignifikant sein
 - BLAST-1 liefert bei mehrere, nahe beieinander liegenden MSP auch mehrere Ergebnisse (statt einem größeren)

Illustration

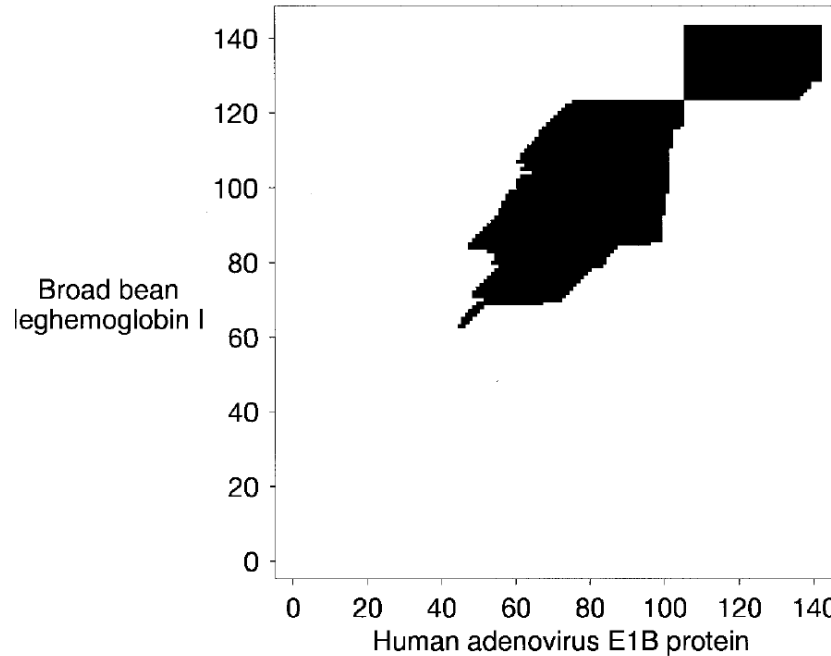
Blast-1



Blast-2



Lokales Smith-Waterman



- SW ausgehend vom Seed-Point **in beide Richtungen**
- Abbruch bei Unterschreiten bestimmter Schranken
 - Abhängig von bisherigen besten Treffern etc.

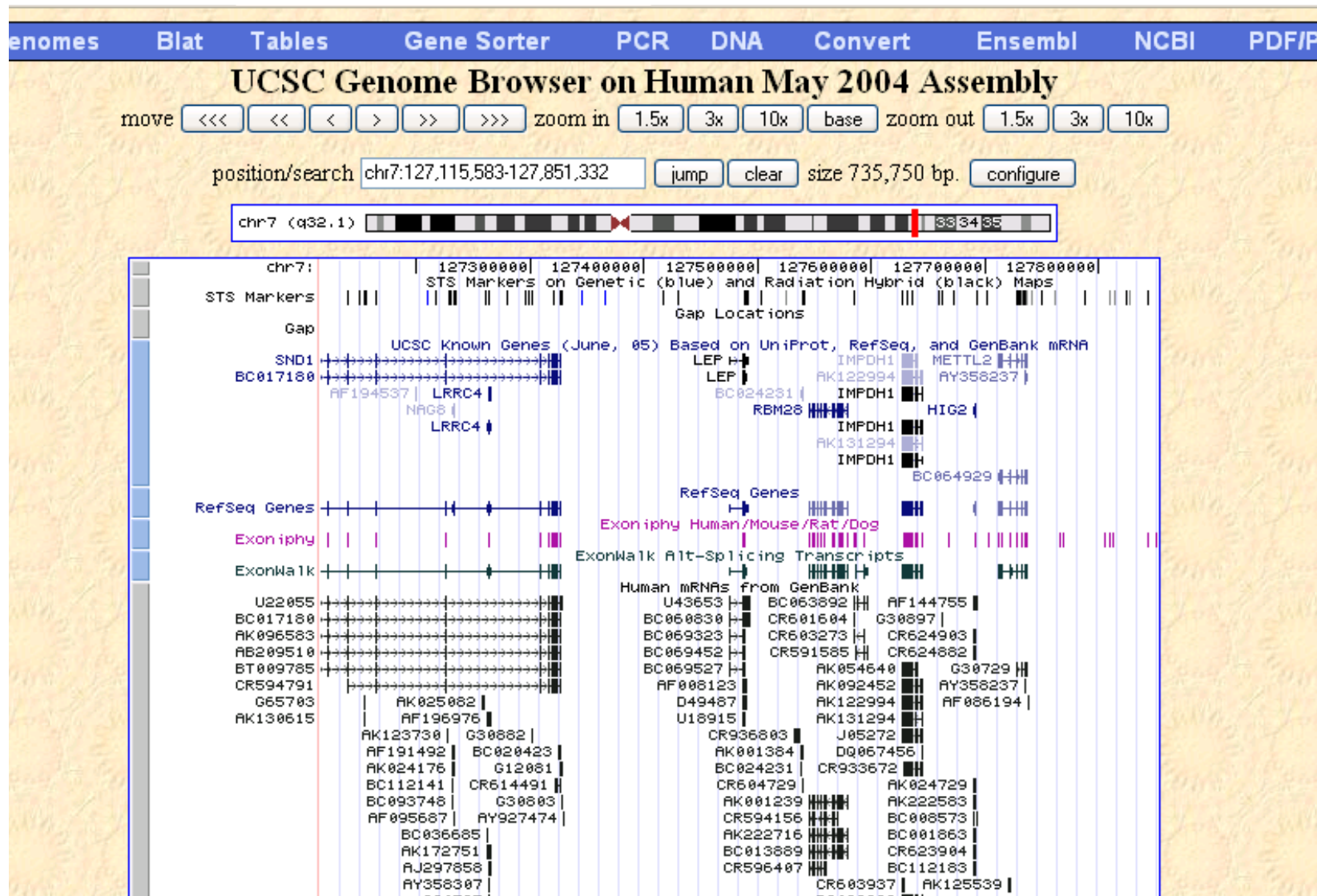
Inhalt dieser Vorlesung

- **BLAT**
 - Datenbanksuche für sehr ähnliche Sequenzen
- Multiple Sequence Alignment (MSA)
 - Problem und eine Lösung
 - Heuristik: Clustal W

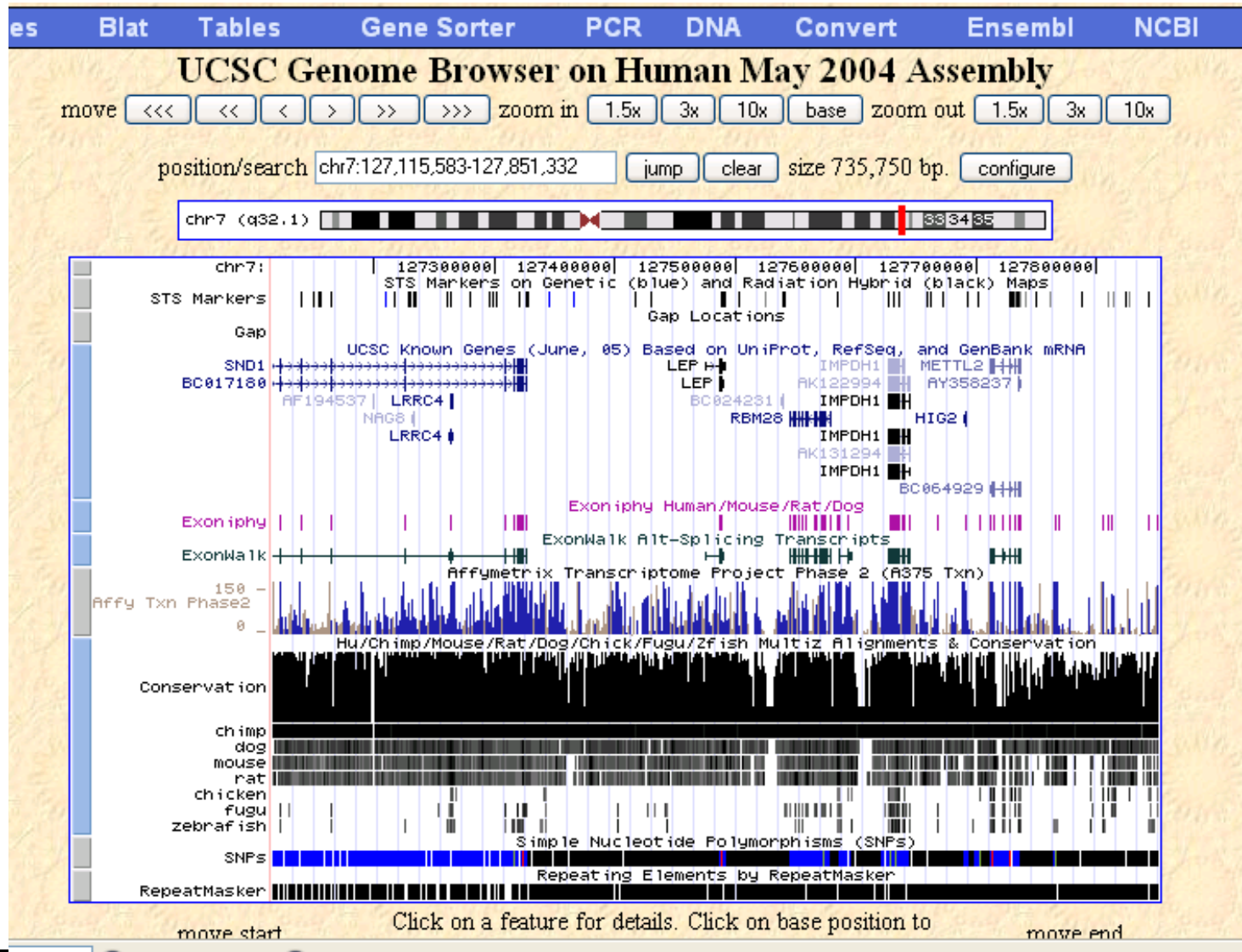
BLAT

- Kent, W. J. (2002). "BLAT - the BLAST-like alignment tool." *Genome Res* **12**(4): 656-64.
 - Viel schneller als BLAST
 - Nur bei sehr ähnlichen erwarteten Alignments möglich
 - Verwendung im Bereich EST / cDNA
 - Verwendet im Genome Browser

Genome Browser 1



Screenshot 2

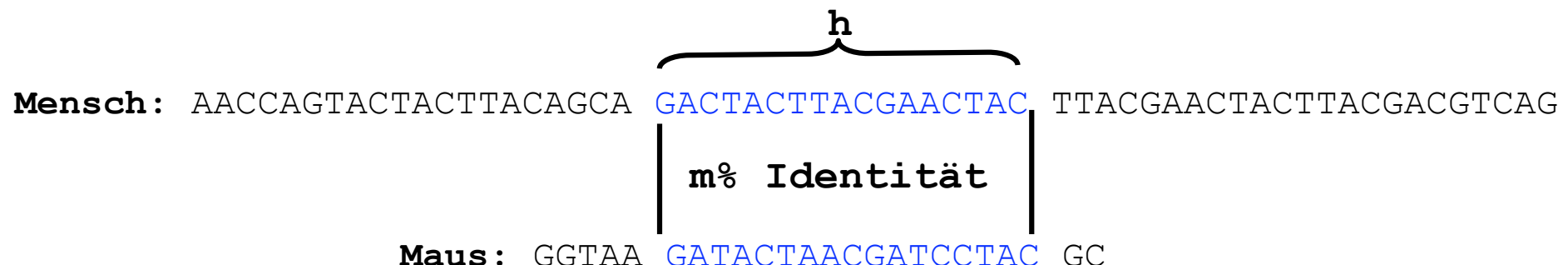


Motivation

- Warum sehr schnelle Alignments?
 - Transcript Mapping
 - $2 \cdot 10^9$ humane EST-Basen gegen das humane Genom ($2.9 \cdot 10^9$ Basen)
 - Comparative Genomics
 - $1.7 \cdot 10^6$ Maus-Reads gegen das humane Genom
 - Alle Maus-Human ESTs miteinander vergleichen
- BLAST ist nicht schnell genug
 - Neue Daten kommen schneller, als Alignments berechnet werden
- BLAT ist **500-mal schneller als BLAST** und gleich sensitiv für **sehr ähnliche Sequenzen**
 - Wir wollen nur hoch konservierte Alignments sehen
 - Erlaubt deutlich höhere Anforderungen an Seeds und Gaps

BLAT Szenario

- Vergleich einer Maus-cDNA Q mit humanen cDNAs
- Hintergrundwissen über Menschen und Mäuse
 - Wenn es eine homologe Teilsequenz gibt, wird diese im **Schnitt zu m% identisch sein und eine durchschnittliche Länge von h haben**
 - Frameshifts (Insertions/Deletions) sehr unwahrscheinlich
- Frage
 - Wie lang müssen Seeds aus Q sein, damit wir mit **sehr hoher Wahrscheinlichkeit mindestens einen Treffer in einer homologen Region finden**, wenn es diese gibt?



Keine Gaps

- BLAT sucht nach Seeds ohne Gaps
 - **Ungapped Alignment** ist gut geeignet für cDNA / Genom Mapping
 - Lange Gaps führen zu mehreren Treffern
 - Kurze Gaps sind unwahrscheinlich - Frameshifts
 - Ungapped-Alignment ist viel schneller als Gapped-Alignment
 - Linear versus quadratisch
- Nehmen wir eine feste Seedlänge k an
- BLAT vergleicht alle überlappenden **k -Mere** von Q mit allen nicht-überlappenden k -mere in DB Sequenz T
 - Die Anzahl nicht-überlappender k -mere in einer homologen Region ist $z \sim h/k$
- Gefundene Teilalignments werden in der BLAT Endphase heuristisch zu einem Gesamtalignment zusammengefasst

BLAT – Statistik

- Ziel: Maximales k und Anzahl von Hits abschätzen
 - m : Erwartete Anzahl Matches in zwei Sequenzen
 - Z.B.: 99% für Maus-Mensch cDNAs, 90% für Proteine
 - h : Durchschnittliche Länge homologer Regionen
 - g : Größe der Datenbank (in Basen)
 - q : Länge der Querysequenz
 - a : Größe des Alphabets (DNA oder Protein)
- Berechnung
 - Wahrscheinlichkeit, dass ein beliebiges k -mer aus der Suchsequenz mit seinem Gegenstück in der homologen Datenbanksequenz perfekt matched
 - $p_1 = m^k$
 - Wahrscheinlichkeit, dass mindestens ein nicht-überlappendes k -mer aus T mit dem entsprechenden k -mer in Q perfekt matched (wenn Q, T homolog)
 - $p = 1 - (1 - p_1)^z = 1 - (1 - m^k)^z$

Trefferwahrscheinlichkeiten

Table 3. Sensitivity and Specificity of Single Perfect Nucleotide K-mer Matches as a Search Criterion

| | 7 | 8 | 9 | 10 | 11 | 12 | 13 | 14 | |
|-----------|-----|-------|-------|-------|-------|-------|-------|-------|-------|
| A. | 81% | 0.974 | 0.915 | 0.833 | 0.726 | 0.607 | 0.486 | 0.373 | 0.314 |
| | 83% | 0.988 | 0.953 | 0.897 | 0.815 | 0.711 | 0.595 | 0.478 | 0.415 |
| | 85% | 0.996 | 0.978 | 0.945 | 0.888 | 0.808 | 0.707 | 0.594 | 0.532 |
| | 87% | 0.999 | 0.992 | 0.975 | 0.942 | 0.888 | 0.811 | 0.714 | 0.659 |
| | 89% | 1.000 | 0.998 | 0.991 | 0.976 | 0.946 | 0.897 | 0.824 | 0.782 |
| | 91% | 1.000 | 1.000 | 0.998 | 0.993 | 0.981 | 0.956 | 0.912 | 0.886 |
| | 93% | 1.000 | 1.000 | 1.000 | 0.999 | 0.995 | 0.987 | 0.968 | 0.957 |
| | 95% | 1.000 | 1.000 | 1.000 | 1.000 | 0.999 | 0.998 | 0.994 | 0.991 |
| | 97% | 1.000 | 1.000 | 1.000 | 1.000 | 1.000 | 1.000 | 1.000 | 0.999 |

- $q=100$, m und k variabel (a und g hier nicht notwendig)
- Werte sind Wahrscheinlichkeit, dass **mindestens ein perfekter Match in der Region** vorkommt
- Ein Match reicht – Extensionsphase wird die **ganze Region** finden
- Beispiel
 - Bei erwarteter Sequenzähnlichkeit von $m=97\%$ findet man in einer homologen Region T von 100 Basen praktisch immer einen perfekten Match der Länge 13 für einen Substring der Länge q

Falsch-positive Treffer

- Aber: Wie viele k-mere **matchen zufällig?**
 - Abhängig von g, q und a
 - $F = (q-k+1) * (g/k) * (1/a)^k$
 - $(1/a)^k$: Alle Zeichen eines k-mers matchen per Zufall
 - (g/k) : Anzahl nicht-überlappender k-mere in DB
 - $(q-k+1)$: Anzahl (überlappender) k-mere in Query

| B. | K | 7 | 8 | 9 | 10 | 11 | 12 | 13 | 14 |
|----|---|---------|---------|--------|--------|-------|------|------|-----|
| F | | 1.3e+07 | 2.9e+06 | 635783 | 143051 | 32512 | 7451 | 1719 | 399 |

$$a=4, \quad g=3 \cdot 10^9, \quad q=500$$

- Falsch-positive werden in **Extensionsphase** ausgesiebt
- **Trade-Off**
 - Hohe k-Werte: Wenig falsch-positive, aber eventuell fehlende echte Hits
 - Niedrige k-Werte: Viele falsch-positive, aber weniger falsch-negative

Variante 1 – Hits mit Mismatches

- BLAT kann auch Hits mit **höchstens einem Mismatch** erlauben
 - Wahrscheinlichkeit, dass mindestens ein k-mer in einer homologen Regionen perfekt oder mit einem Mismatch matched
 - $P_1 = k * m^{k-1} * (1-m) + m^k$
 - Restliche Formeln entsprechend
- Ergebnis
 - **Wesentlich längere Seeds** möglich
 - Dafür wird die Suche erschwert (Indizierung kompliziert)

Table 5. Sensitivity and Specificity of Single Near-Perfect (One Mismatch Allowed) Nucleotide K-mer Matches as a Search Criterion

| | 12 | 13 | 14 | 15 | 16 | 17 | 18 | 19 | 20 | 21 | 22 |
|-----------|----------|-----------|-----------|-----------|-----------|-----------|-----------|-----------|-----------|-----------|-----------|
| A. | | | | | | | | | | | |
| 81% | 0.945 | 0.880 | 0.831 | 0.721 | 0.657 | 0.526 | 0.465 | 0.408 | 0.356 | 0.255 | 0.218 |
| 83% | 0.975 | 0.936 | 0.904 | 0.820 | 0.770 | 0.649 | 0.591 | 0.535 | 0.480 | 0.361 | 0.318 |
| 85% | 0.991 | 0.971 | 0.954 | 0.900 | 0.865 | 0.767 | 0.719 | 0.669 | 0.619 | 0.490 | 0.445 |
| 87% | 0.997 | 0.990 | 0.983 | 0.954 | 0.935 | 0.867 | 0.833 | 0.796 | 0.757 | 0.634 | 0.591 |
| 89% | 1.000 | 0.997 | 0.995 | 0.984 | 0.976 | 0.939 | 0.920 | 0.897 | 0.872 | 0.775 | 0.741 |
| 91% | 1.000 | 1.000 | 0.999 | 0.996 | 0.994 | 0.979 | 0.971 | 0.962 | 0.950 | 0.890 | 0.869 |
| 93% | 1.000 | 1.000 | 1.000 | 0.999 | 0.999 | 0.996 | 0.994 | 0.991 | 0.988 | 0.963 | 0.954 |
| 95% | 1.000 | 1.000 | 1.000 | 1.000 | 1.000 | 1.000 | 0.999 | 0.999 | 0.999 | 0.994 | 0.992 |
| 97% | 1.000 | 1.000 | 1.000 | 1.000 | 1.000 | 1.000 | 1.000 | 1.000 | 1.000 | 1.000 | 1.000 |
| B. | K | 12 | 13 | 14 | 15 | 16 | 17 | 18 | 19 | 20 | 21 |
| | F | 275671 | 68775 | 17163 | 4284 | 1070 | 267 | 67 | 17 | 4.2 | 1.0 |
| | | | | | | | | | | | 0.3 |

Weitere Möglichkeiten

- Suche mit mehreren (perfekten) Hits
 - Idee von BLAST-2
 - Wir sparen uns die Formeln
 - Drastische **Verringerung der erwarteten Anzahl falsch-positiver Hits**

Table 7. Sensitivity and Specificity of Multiple (2 and 3) Perfect Nucleotide K-mer Matches as a Search Criterion

| | 2,8 | 2,9 | 2,10 | 2,11 | 2,12 | 3,8 | 3,9 | 3,10 | 3,11 | 3,12 | |
|-----------|------------|------------|------------|-------------|-------------|-------------|------------|------------|-------------|-------------|-------------|
| A. | 81% | 0.681 | 0.508 | 0.348 | 0.220 | 0.129 | 0.389 | 0.221 | 0.112 | 0.051 | |
| | 83% | 0.790 | 0.638 | 0.475 | 0.326 | 0.208 | 0.529 | 0.339 | 0.193 | 0.099 | |
| | 85% | 0.879 | 0.762 | 0.615 | 0.460 | 0.318 | 0.676 | 0.487 | 0.313 | 0.180 | |
| | 87% | 0.942 | 0.866 | 0.752 | 0.611 | 0.461 | 0.809 | 0.649 | 0.470 | 0.305 | |
| | 89% | 0.978 | 0.940 | 0.868 | 0.761 | 0.625 | 0.910 | 0.801 | 0.648 | 0.476 | |
| | 91% | 0.994 | 0.980 | 0.947 | 0.884 | 0.787 | 0.969 | 0.914 | 0.815 | 0.673 | |
| | 93% | 0.999 | 0.996 | 0.986 | 0.962 | 0.912 | 0.993 | 0.976 | 0.933 | 0.851 | |
| | 95% | 1.000 | 1.000 | 0.998 | 0.993 | 0.979 | 0.999 | 0.997 | 0.987 | 0.961 | |
| | 97% | 1.000 | 1.000 | 1.000 | 1.000 | 0.999 | 1.000 | 1.000 | 0.999 | 0.987 | |
| B. | N,K | 2,8 | 2,9 | 2,10 | 2,11 | 2,12 | 3,8 | 3,9 | 3,10 | 3,11 | 3,12 |
| | F | 524 | 27 | 1.4 | 0.1 | 0.0 | 0.1 | 0.0 | 0.0 | 0.0 | 0.0 |

Inhalt dieser Vorlesung

- BLAT
 - Datenbanksuche für sehr ähnliche Sequenzen
- **Multiple Sequence Alignment (MSA)**
 - Problem und eine Lösung
 - Heuristik: Clustal W

Definition

- Bisher
 - Immer Vergleich zweier Strings
- Jetzt
 - Multipler Stringvergleich: Vergleich von $k > 2$ Strings
- Definition
 - Ein *multiples Sequenzalignment (MSA)* von k Strings S_i , $1 \leq i \leq k$, ist eine Tabelle mit k Zeilen und l Spalten, so dass
 - In Zeile i steht String S_i , mit beliebig eingefügten Leerzeichen
 - Jedes Zeichen jedes S_i steht in exakt einer Spalte
 - In keiner Spalte stehen nur Leerzeichen
- Bemerkungen
 - Direkte Generalisierung des Alignment zweier Strings
 - Es folgt, dass $l = |\text{MSA}| \leq \sum (|S_i|)$
 - Warum?

Beispiel

| | | | | |
|------------------|------------------------|---------------------|---------------------------|---------------------------|
| S ₁ : | M---AIDE--- | NKQKALAAALG | QIEKQFGKG\$ | IMRLGEDR-SMDVETISTGSLSDL |
| S ₂ : | MSDN----- | KKQQALELALK | QIEKQFGKG\$ | IMKLGDG-ADHSIEAIPSGSIALDI |
| S ₃ : | M----AINTDTSGKQKALT | MVLN | QIERSFGKGAIMRLGDA | -TRMRVETISTGALTLDL |
| S ₄ : | M-----DRQKALEAAVS | QIERAFGKG\$ | IMKLGGKDQVVEVVSTRILGLDV | |
| S ₅ : | M-----DE---NKKRALAAALG | QIEKQFGKGAVMRMGDHE | -RQAIPAISTGSLGLDI | |
| S ₆ : | MD----- | KIEKSFGKG\$ | IMKMGEEVVEQVEV IPTGSIALNA | |
| S ₇ : | M-----AL----- | IE--FGKG--M--G----- | L----- | |

- Uns interessieren „möglichst gute“ MSAs
 - Intuition
 - Möglichst wenig Spalten – wenig Leerzeichen
 - Möglichst homogene Spalten – hohe Übereinstimmung
 - Exakte Definition später
 - MSAs erfassen das **Gemeinsame verschiedener Sequenzen**

Motivation

- Alignment sucht ähnliche Sequenzen
 - Weil: ähnliche Sequenz – ähnliche Struktur – ähnliche Funktion
- MSA sucht „das Ähnliche“ in vielen Sequenzen
 - Argumentationsrichtung ist umgekehrt
 - Auch beim paarweisen Alignment findet man Regionen guter Übereinstimmung – aber nur für diese zwei Sequenzen
 - MSA startet mit vielen Sequenzen, bei denen man ähnliche Funktion / Struktur vermutet
 - MSA stellt fest, was das Gemeinsame dieser Sequenzen ist – Domänen, Motive, Signaturen, Profile, ...
 - These: dieses Gemeinsame ist biologisch relevant

Motivation II

- Proteine (und damit auch DNA) setzen sich aus **funktionalen Blöcken** und „Zwischenraum“ zusammen
 - Die Blöcke findet man nicht, wenn man Sequenzen nur paarweise vergleicht
 - Bzw. man kann sie nicht vom Rauschen unterscheiden
- Trennung des eventuell zufällig Gemeinsamen (Alignment) vom bedeutungsvoll Gemeinsamen (MSA)

AAC _ **GTG** _ AT _ **T** _ GAC
_ TCG **AGTGC** _ **TTTACA** _ GT

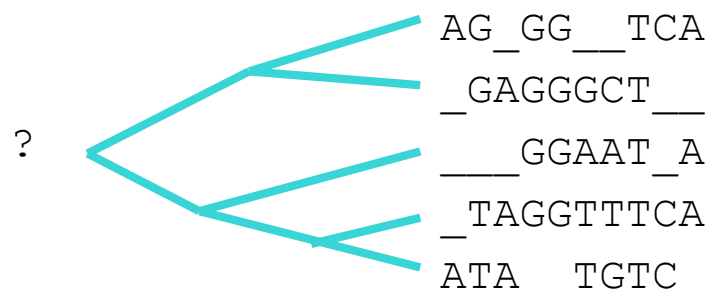
AAC _ **GTG** _ AT _ **T** _ GAC
_ TCG **AGTGC** _ **TTTACA** _ GT
GCCG _ **TGC** _ TA _ **GTCG** _
TTC _ **AGTGGACGTG** _ **GTA**
G _ **GTGCA** _ **TGACC** _

Blöcke, Domänen, Sites

- Proteine
 - Bindungsstelle für andere Proteine / Liganden / Moleküle
 - Bindungsstelle an DNA
 - Phosphorylierung / Dephosphorylierungsstelle
 - Signal zum Transport des Proteins
 - Signal zum Abbau des Proteins
 - ...
- DNA
 - Bindungsstellen für Proteine
 - Promotoren und Inhibitoren
 - Strukturtragende Bereiche
 - Start- und Stoppcodons
 - Signal für differenzielles Splicen
 - ...

MSA Zielfunktion

- Zielfunktion beim einfachen Alignment war klar
 - Möglichst wenig I,R,D
 - Eventuell mit Substitutionsmatrix
 - Eventuell mit spezieller Behandlung von Gaps
- Zielfunktion für MSA ist nicht so klar
 - Score einer Spalte mit 2 T, zwei G und einem Leerzeichen?
 - Angabe einer Substitutionsmatrix für k Sequenzen über Alphabet Σ würde $O(|\Sigma|^{k+1})$ Werte erfordern
 - Nicht machbar und biologisch nicht begründbar



MSA Überblick

- Weg über Substitutionsmatrizen nicht gangbar
- Verschiedene alternative Vorschläge für Zielfunktionen existieren
 - Maximiere die Summe aller paarweisen Alignments
 - Maximiere die Summe der Alignments jeder Sequenz zu einer Consensussequenz (Center-Star)
 - Maximiere die Summe der Alignments folgend dem phylogenetischen Baum der Sequenzen

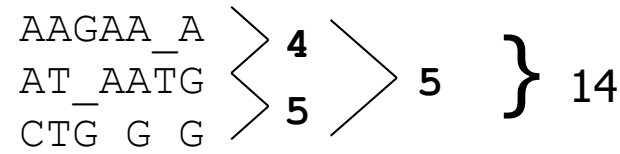
Definitionen

- Definition
 - Gegeben ein MSA M für Sequenzen S_1, \dots, S_k . Das durch M induziertes Alignment für zwei Sequenzen S_i und S_j ist das folgende:
 - Entferne aus M alle Zeilen außer i und j
 - Entferne alle Spalten, die in i und j ein Leerzeichen enthalten
 - Berechne den Alignmentscore für Sequenzen i und j
 - Gegeben ein MSA M für Sequenzen S_1, \dots, S_k . Der Sum-Of-Pairs Score für M (SP-Score) ist die Summe aller Alignmentscores der durch M induzierten paarweisen Alignments
 - Das SP-Alignment Problem für Sequenzen S_1, \dots, S_k sucht das MSA M mit minimalem SP-Score
- Bemerkung
 - Vergleich aller Sequenzen mit allen anderen Sequenzen – aber entsprechend dem vorgegebenen MSA

Beispiel

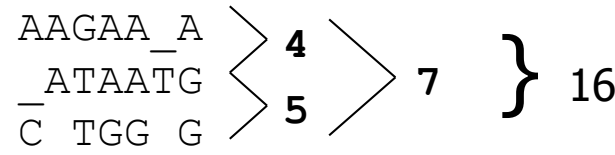
$$\begin{array}{lcl} d/i & = & 1 \\ r & = & 1 \\ m & = & 0 \end{array}$$

AAGAA_A
AT_AATG
CTG_G_G



4 5 } 14

AAGAA_A
ATAATG
CTGG_G



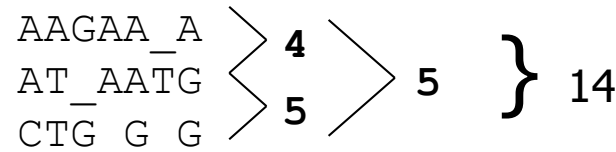
4 5 } 16

- Die Berechnung des SP-Scores für ein gegebenes MSA der Länge l über k Sequenzen ist einfach
 - Nämlich?

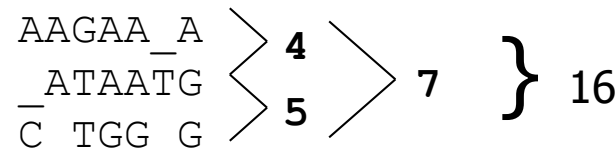
Beispiel

$$\begin{array}{lcl} d/i & = & 1 \\ r & = & 1 \\ m & = & 0 \end{array}$$

AAGAA_A
AT_AATG
CTG_G_G



AAGAA_A
ATAATG
CTGG_G

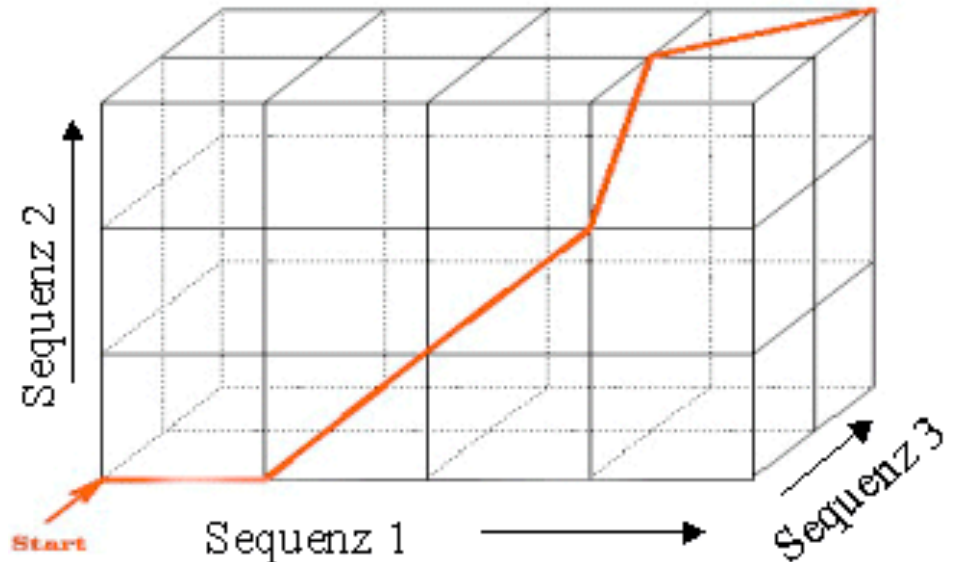


- Die Berechnung des SP-Scores für ein gegebenes MSA der Länge l über k Sequenzen ist einfach
 - Komplexität $O(l*k^2)$
- Aber wie findet man das MSA mit **minimalem SP-Score?**

Dynamische Programmierung in k Dimensionen

- $k = 2$
 - 2-dimensionale Matrix
- $k = 3$
 - 3-dimensionale Matrix

| | 0 | 1 | 2 | 3 | 4 | 5 | 6 | 7 |
|---|---|---|---|---|---|---|---|---|
| 0 | 0 | 1 | 2 | 3 | 4 | 5 | 6 | 7 |
| 1 | v | 1 | 1 | 2 | 3 | 4 | 5 | 6 |
| 2 | i | 2 | 2 | 2 | 2 | 3 | 4 | 5 |
| 3 | n | 3 | 3 | 3 | 3 | 3 | 4 | 5 |
| 4 | t | 4 | 4 | 4 | 4 | 3 | 4 | 5 |
| 5 | n | 5 | 5 | 5 | 5 | 4 | 4 | 5 |
| 6 | e | 6 | 6 | 6 | 6 | 5 | 4 | 5 |
| 7 | r | 7 | 7 | 6 | 7 | 6 | 5 | 4 |

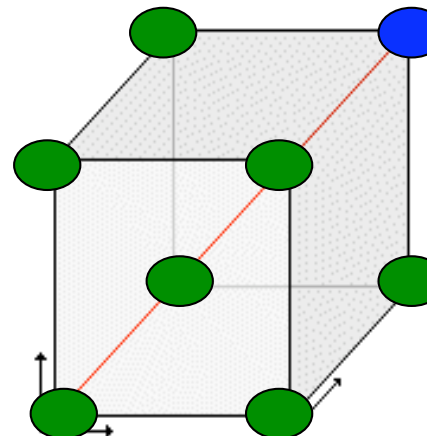


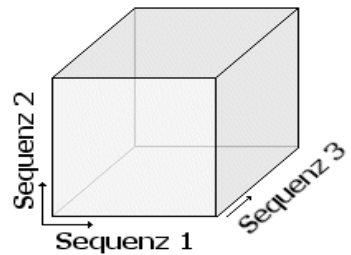
Erinnerung

- Grundidee der dynamischen Programmierung für zwei Sequenzen S_1, S_2
 - Berechnung des Alignment $d(i,j)$ von $S_1[1..i]$ und $S_2[1..j]$ für steigende Werte (i, j) bis $i=|S_1|$ und $j=|S_2|$
 - Berechnung von $d(i,j)$ aus $d(i-1,j-1)$, $d(i,j-1)$, $d(i-1,j)$
 - Man verlängert $d(i-1,j-1)$ um Match oder Mismatch
 - ... oder man verlängert $d(i,j-1)$ um ein Insert
 - ... oder man verlängert $d(i-1,j)$ um eine Deletion
 - Initialisierung der Werte $d(i,0)$ und $d(0,j)$
- Wir betrachten im Folgenden nur den Fall $k=3$

Dynamische Programmierung für SP-MSA

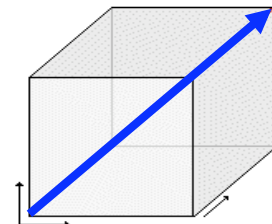
- Übertragung auf MSA
- Berechnung von $d(i,j,k)$ aus
 - $d(i-1,j-1,k-1)$
 - $d(i,j-1,k-1)$
 - $d(i,j,k-1)$
 - $d(i,j-1,k)$
 - $d(i-1,j,k)$
 - $d(i-1,j-1,k)$
 - $d(i-1,j,k-1)$



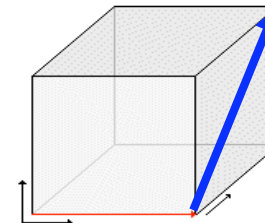


Dyn Prog. für SP-MSA

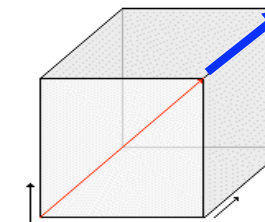
- $d(i-1, j-1, k-1)$
- $d(i, j-1, k-1)$
- $d(i, j, k-1)$
- $d(i, j-1, k)$
- $d(i-1, j, k)$
- $d(i-1, j-1, k)$
- $d(i-1, j, k-1)$



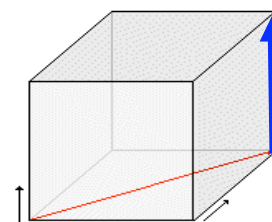
| | |
|---|---|
| 1 | G |
| 2 | A |
| 3 | C |



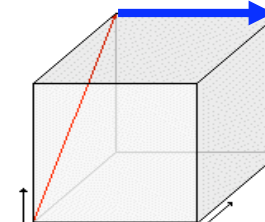
| | |
|---|---|
| 1 | - |
| 2 | A |
| 3 | C |



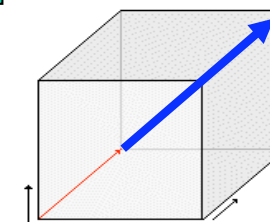
| | |
|---|---|
| 1 | - |
| 2 | - |
| 3 | C |



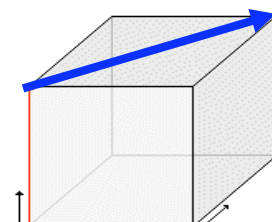
| | |
|---|---|
| 1 | - |
| 2 | A |
| 3 | - |



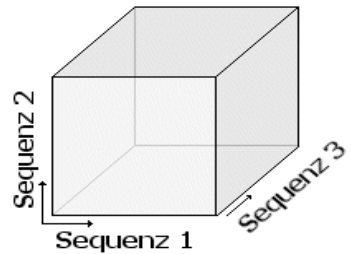
| | |
|---|---|
| 1 | G |
| 2 | - |
| 3 | - |



| | |
|---|---|
| 1 | G |
| 2 | A |
| 3 | - |

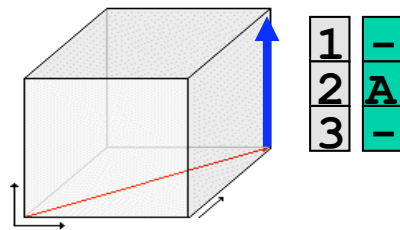


| | |
|---|---|
| 1 | G |
| 2 | - |
| 3 | C |

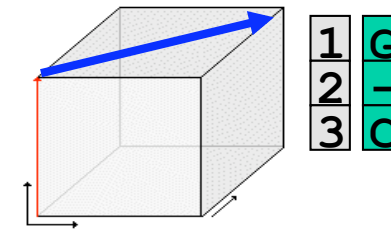


Analogie

$d(i, j-1, k)$



$d(i-1, j, k-1)$



- SP-Alignment von $d(i, j-1, k)$ ist bekannt
- Wir erweitern dieses zu $d(i, j, k)$
- Dazu alignieren wir $S_2[j]$ zweimal mit Leerzeichen (Inserts)

- SP-Alignment von $d(i-1, j, k-1)$ ist bekannt
- Wir erweitern dieses zu $d(i, j, k)$
- Dazu alignieren wir ein Leerzeichen mit $S_1[i-1]$ und mit $S_3[k-1]$

Formal

- Wir nehmen ein einfaches Kostenmodell (I/D/R=1, M=0)
- Theorem
 - Gegeben Sequenzen S_1, S_2, S_3 .
 - Sei $d(i,j,k)$ der Score des SP-optimalen Alignments der Strings $S_1[1..i], S_2[1..j], S_3[1..k]$
 - Sei $c_{ij} = 0$, wenn $S_1(i) = S_2(j)$, sonst 1
 - Sei $c_{ik} = 0$, wenn $S_1(i) = S_3(k)$, sonst 1
 - Sei $c_{jk} = 0$, wenn $S_2(j) = S_3(k)$, sonst 1
 - Dann berechnet sich $d(i,j,k)$ als

$$d(i, j, k) = \min \left\{ \begin{array}{l} d(i-1, j-1, k-1) + c_{ij} + c_{ik} + c_{jk} \\ d(i-1, j-1, k) + c_{ij} + 2 \\ d(i-1, j, k-1) + c_{ik} + 2 \\ d(i, j-1, k-1) + c_{jk} + 2 \\ d(i-1, j, k) + 2 \\ d(i, j-1, k) + 2 \\ d(i, j, k-1) + 2 \end{array} \right.$$

Randbedingungen

- Theorem Fortsetzung
 - ...
 - *mit Initialisierung*
 - Sei $d_{a,b}(i,j)$ der optimale Alignmentscore von $S_a[1..i]$ mit $S_b[1..j]$
 - $d(0, 0, 0) = 0$
 - $d(i, j, 0) = d_{1,2}(i, j) + (i+j)$
 - $d(i, 0, k) = d_{1,3}(i, k) + (i+k)$
 - $d(0, j, k) = d_{2,3}(j, k) + (j+k)$
- Bemerkung
 - Beweis analog zum paarweisen Alignment
 - Alignment eines Leerzeichen mit einem Leerzeichen ist im induzierten paarweisen Alignment nicht enthalten

Algorithmus

```
initialize matrix d;
for i := 1 to |S1|
    for j := 1 to |S2|
        for k := 1 to |S3|
            if (S1(i) = S2(j)) then cij := 0; else cij := 1;
            if (S1(i) = S3(k)) then cik := 0; else cik := 1;
            if (S2(j) = S3(k)) then cjk := 0; else cjk := 1;

            d1 := d[i - 1, j - 1, k - 1] + cij + cik + cjk;
            d2 := d[i - 1, j - 1, k] + cij + 2;
            d3 := d[i - 1, j, k - 1] + cik + 2;
            d4 := d[i, j - 1, k - 1] + cjk + 2;
            d5 := d[i - 1, j, k] + 2;
            d6 := d[i, j - 1, k] + 2;
            d7 := d[i, j, k - 1] + 2;

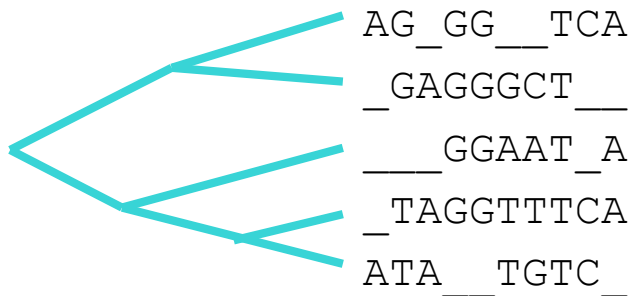
            d[i, j, k] := min(d1, d2, d3, d4, d5, d6, d7);
        end for;
    end for;
end for;
```

Komplexität

- Für drei Sequenzen der Länge n
 - Würfel hat n^3 Zellen
 - Für jede Zelle sind 7 Berechnungen notwendig
 - **Zusammen $O(7 \cdot n^3)$**
- Allgemeiner Fall: k Sequenzen der Länge n
 - Hyperwürfel hat n^k Zellen
 - Für jede Zelle sind $2^k - 1$ Berechnungen notwendig
 - Alle Ecken eines k -dimensionalen Würfels minus eins
(Das ist die Ecke die gerade berechnet wird)
 - **Zusammen $O(2^k \cdot n^k)$**
- Tatsächlich gilt
 - ***Das SP-Alignment Problem ist NP vollständig***

MSA also praktisch unlösbar?

- SP-Score für mehr als eine Handvoll Sequenzen nennenswerter Länge nicht berechenbar
- Außerdem: SP berechnet **nicht die Menge an notwendiger Evolution**



- Viele andere Zielfunktionen
 - Center-Star, MSA entlang des phylogenetischen Baums
- Viele Heuristiken (Branch&Bound, iterative, greedy, ...)

Inhalt dieser Vorlesung

- BLAT
 - Datenbanksuche für sehr ähnliche Sequenzen
- Multiple Sequence Alignment (MSA)
 - Problem und Lösung
 - Heuristik: Clustalw

CLUSTAL W

- Greedy-MSA mit einem phylogenetischen Baum
- Lange Zeit das **Standardprogramm** zum multiplen Sequenzalignment
 - Higgins, D. G. and Sharp, P. M. (1988). "CLUSTAL: a package for performing multiple sequence alignment on a microcomputer." *Gene* **73**(1): 237-44.
 - Thompson, J. D., Higgins, D. G. and Gibson, T. J. (1994). "CLUSTAL W: improving the sensitivity of progressive multiple sequence alignment through sequence weighting, position-specific gap penalties and weight matrix choice." *Nucleic Acids Res* **22**(22): 4673-80.
- Heute ist die Situation unübersichtlicher
 - DAlign, T-Coffee, HMMT, PRRT, MULTALIGN, ...

Progressives Alignment

- Grundproblem des SP-MSA
 - Ständige Betrachtung aller Sequenzen
 - Das sind zu viele Möglichkeiten = Dimensionen
- Grundidee der progressiven Verfahren
 - Berechne zunächst **MSA für viele kleine Teilmengen** von Sequenzen
 - Baue das **Gesamt-MSA aus den Teil-MSA**
- Das wirft Fragen auf
 - Wie wähle ich die Teilmengen?
 - Wie „aligniert“ man zwei MSA?
 - Wir können MSA (Profil) und Sequenz, aber zwei MSA?
 - In welcher Reihenfolge verschmilzt man die Teil-MSA?

CLUSTAL W: Grundaufbau

- Gegeben k Sequenzen
- Drei Schritte
 - Berechne alle paarweisen Alignmentscores
 - Konstruiere „Guide Tree“ durch hierarchisches Clustering
 - Berechne und verschmelze Teil-MSA gemäß dem Guide Tree
- Idee dahinter
 - Aligniere erst sehr ähnliche Sequenzen – **Signale werden verstärkt**
 - Werden z.B. zwei sehr verschiedene Cluster von Sequenzen betrachtet, berechnet CLUSTAL automatisch erst zwei (homogene) MSA und verschmilzt diese am Ende
 - Hohe Chance, dass **konservierte Blöcke** erhalten bleiben
 - **Außenseiter** kommen erst spät dazu und können die Blockstruktur nicht mehr stören
 - Orientierung an der „tatsächlichen“ Entstehungsgeschichte, dem **phylogenetischen Baum**

Schritt 1 und 2

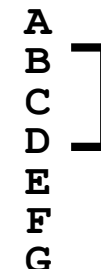
- Berechnen der Ähnlichkeitsmatrix M
 - Berechne die $O(k^2)$ paarweisen Alignmentscores für die k Sequenzen
- **Hierarchisches Clustering**
 - Wähle Zelle (i,j) mit kleinstem Abstand aus Matrix M
 - Das ist das erste Paar
 - Erzeuge M' : Lösche die Sequenzen i und j aus M und füge neue Spalte/Zeile (ij) ein
 - Für alle $k \neq ij$: $M'[ij,k] = (M[i,k] + M[j,k]) / 2$
 - Mittlerer Abstand zu i und j
 - Iteriere, bis Matrix nur noch 2×2 groß ist

Beispiel: Graphisch

ABCDEFGHI

| | |
|---|-------|
| A | |
| B | |
| C | . |
| D | .. |
| E | ... |
| F | |
| G | |

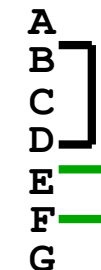
$(B, D) \rightarrow a$



ACEFGa

| | |
|---|-------|
| A | |
| C | . |
| E | .. |
| F | ... |
| G | |
| a | |

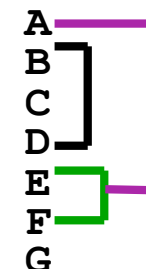
$(E, F) \rightarrow b$



ACGab

| | |
|---|------|
| A | |
| C | . |
| G | .. |
| a | ... |
| b | |

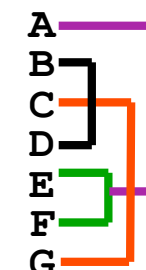
$(A, b) \rightarrow c$



CGac

| | |
|---|-----|
| C | |
| G | . |
| a | .. |
| c | ... |

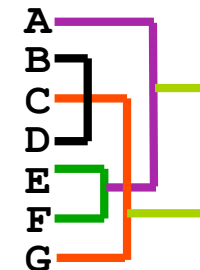
$(C, G) \rightarrow d$



acd

| | |
|---|----|
| a | |
| c | . |
| d | .. |

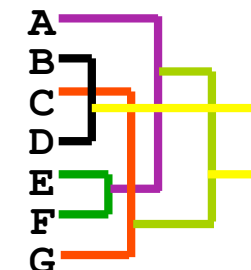
$(d, c) \rightarrow e$



ae

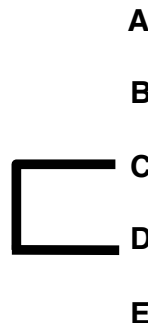
| | |
|---|---|
| a | |
| e | . |

$(a, e) \rightarrow f$

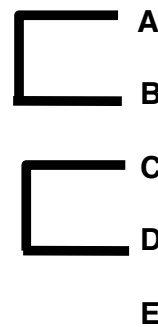


Konstruktion des Guide Trees

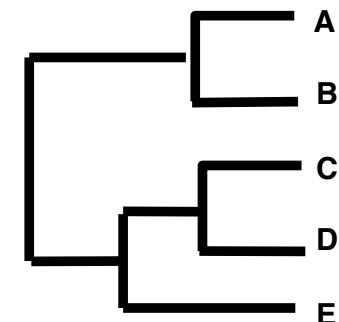
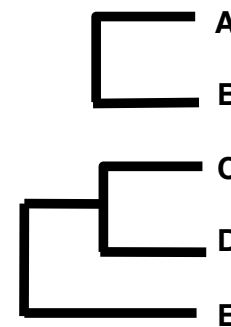
| | A | B | C | D | E |
|---|---|----|----|----|----|
| A | | 17 | 59 | 59 | 77 |
| B | | | 37 | 61 | 53 |
| C | | | | 13 | 41 |
| D | | | | | 21 |



| | A | B | E | CD |
|---|---|----|----|----|
| A | | 17 | 77 | 59 |
| B | | | 53 | 49 |
| E | | | | 31 |



| | E | CD | AB |
|----|---|----|----|
| E | | | 65 |
| CD | | | 54 |



Schritt 3: Progressive MSA Generierung

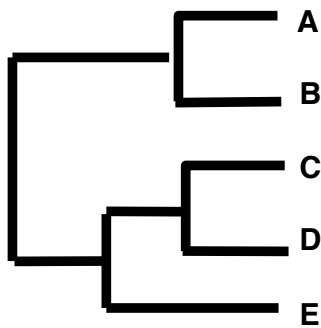
- Berechnung paarweiser Alignments in der Reihenfolge des Guide Trees
- Alignment eines MSA M_1 mit einem MSA M_2
 - Dynamische Programmierung mit linearem Gapscore
 - Wert eines Mismatches/Matches ist der Durchschnittsscore aller Paare mit einem Zeichen aus M_1 und dem anderen aus M_2
 - Gaps werden mit dem schlechtesten Score der verwendeten Substitutionsmatrix bestraft
 - Bei k Sequenzen sind das maximal $k/2 \cdot k/2 = O(k^2)$ Scores
- Beispiel

| | |
|---|---------|
| A | ...P... |
| B | ...G... |
| C | ...P... |
| D | ...A... |
| E | ...A... |
| F | ...Y... |

- Score dieser Spalte

- $$- (2 \cdot s(P, A) + s(P, Y) + 2 \cdot s(G, A) + s(G, Y) + 2 \cdot s(P, A) + s(P, Y)) / 9$$

Beispiel



C PADKTNVKAAWGKVG**A**HAGEYGA

D AADKTNVKAAWSKVG**GG**HAGEYGA

A PEEKSAVTALWGKVNV**D**EYGG

B GEEKAAV**L**ALWD**K**VN**EE**EYGG

C PADKTNVKAAWG**_**KVG**A**HAGEYGA

D AADKTNVKAAWS**_**KVG**GG**HAGEYGA

E AA**_**TNV**K**TAWSSKVG**GG**HAPA**_****A**

A PEEKSAV**_**TALWG**_**KVN**_**VDEYGG

B GEEKAAV**_**LALWD**_**KVN**_**EEYGG

C PADKTNV**K**AA**_**WG**_**KVG**A**HAGEYGA

D AADKTNV**K**AA**_**WS**_**KVG**GG**HAGEYGA

E AA**_**TNV**K**TAWSSKVG**GG**HAPA**_****A**

Once a gap, always a gap

Erweiterungen

- Viele weitere Tricks
 - Individuelle Scores für das **Öffnen eines Gaps** in Abhängigkeit der Umgebung, Abstand zu anderen Gaps, Länge der Sequenz, ...
 - Verwendung **unterschiedlicher Substitutionsmatrizen**, je nachdem wie hoch man schon im Baum ist
 - Denn damit steigt der evolutionäre Abstand, und PAM-X bzw. BLOSUM-X Matrizen werden nach dem geschätzten Abstand gewählt
 - **Gewichten der Sequenzen** im MSA/MSA Alignment je nach Ähnlichkeit zu anderen Sequenzen
 - Verhindert, dass sehr ähnliche Sequenzen das ganze MSA dominieren
 - Verwendung von **Neighbour Joining** statt hierarchischem Clustering
- Ergebnis: Deutlich verbesserte Ergebnisse
 - Durch Benchmarking gezeigt
 - Orientiert sich am 3D Strukturalignment als Goldstandard